

Происхождение интеллекта

УДК 338.2+314

Казначеев В. П., Трофимов А. В.

ДИСТАНТНО-ИНФОРМАЦИОННЫЕ ВЗАИМОДЕЙСТВИЯ В «ПРОСТРАНСТВЕ КОЗЫРЕВА»

**Космопланетарная антропоэкология:
фактический и аналитический материал**

(Продолжение. Начало в № 2-5/07, 1/08)

*Международный НИИ космической антропоэкологии (МНИИКА)
630117, Россия, г. Новосибирск, ул. Акад. Тимакова, 2*

Описаны психофизиологические исследования восприятия людьми голограмм, содержащих информацию о космических объектах: о галактиках с различными характеристиками и о культурно-исторических памятниках различных цивилизаций и эпох. Испытаны также голограммы с информацией функционально-регуляторного характера. Степень палеоинформационной чувствительности современного человека, мера раскрытия его «палеопамяти» оценивались по динамике восприятия времени, изменениям хронотропного режима сердца, электрической активности головного мозга, светопоглощения кожи, параметров газоразрядной визуализации, а также по эффективности дистантно-информационных коммуникаций между людьми и взаимодействиями с «клеточными цивилизациями».

Ключевые слова: палеопамять человека, «пространство Козырева», дистантно-информационные коммуникации между людьми, информационные сигналы, психофизиологическое тестирование, асимметрия полушарий головного мозга, внутреннее восприятие времени.

В этом цикле работ палеопсихологический горизонт информационного поля Земли был представлен одним из образцов шумерской культуры — глиняной табличкой, изготовленной 4250 лет назад и содержащей клинописные долговые обязательства шумерскому кредитору. Мы предполагали, что через конкретные смысловые поля, запечатленные в глине, удастся выйти на «мимы» и космогонические мифы этой культуры, а возможно, и следы внеземной цивилизации.

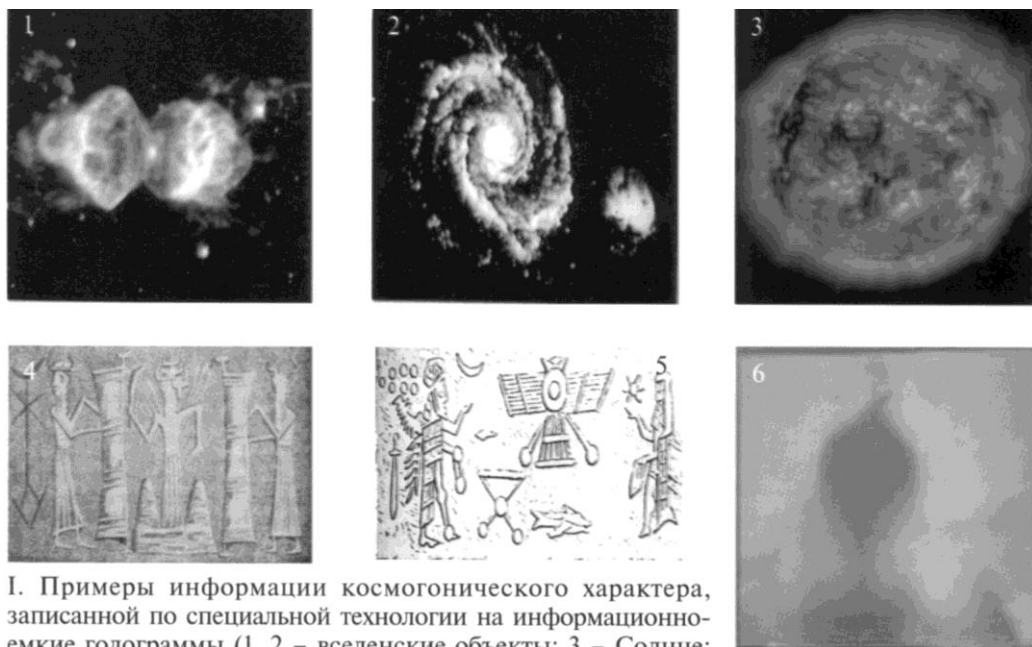
Шумеры делали записи на глиняных табличках, а иллюстрации — на цилиндрических печатях. На месте руин шумерских городов археологи в ходе полуторавековых раскопок обнаружили тысячи текстов и иллюстраций, относящихся к астрономии и космогонии. Обнаружены шумерские тексты, описывающие происхождение, развитие строение Солнечной системы, включая список планет, вращающихся вокруг Солнца, их взаимное расположение и характеристики, а также сотворение человека на Земле представителями иных миров — анунаками. Приводим фрагменты одного из подобных текстов:

Они вызвали богиню, повивалку богов
И мудрую акушерку [и обратились к ней со словами]:
«Дай жизнь новому существу, создай рабочих!
Сотвори Примитивного Рабочего,
Который сможет тащить это ярмо!
Пусть он исполняет его по поручению Энлила.
Пусть этот Рабочий продолжит работу богов!»

От основания Земли,
Что чуть вверх (на север) от Абзу,

И приспособь его в формочку с сутью.
Я предоставлю хорошую, много знающую юную анунаки,
Которая доведет глину (яйцо) до нужного состояния.

Судьбу новорожденного изречешь ты...
Нинки воплотит в нем образ богов,
И то, чем он станет, будет «Человек».



I. Примеры информации космогонического характера, записанной по специальной технологии на информационно-емкие голограммы (1, 2 – вселенские объекты; 3 – Солнце; 4, 5 – шумерские рисунки; 6 – кинокадр энергоинформационного события в “зеркала Козырева”).



II. Примеры информации культурно-исторического характера, записанной на голограммы (1 – 4 – фотоизображения исторических памятников; 5 – подлинный объект – шумерская табличка).

Фото 1.

В приведенных шумерских текстах, по мнению Ю. В. Селенка [20], описывается процесс генетического конструирования человека по внеземным технологиям.

Подлинная глиняная шумерская табличка (фото 1) как возможный носитель космогонической информации предъявлялась испытуемым ($n = 38$) в процессе раскрытия их космофильных резервов в преформированном космофизическом пространстве, в условиях геомагнитной депривации (фото 2). Палеоинформационный тест проводился в «прямом и «опосредованном» (голографическом) вариантах.

Степень палеоинформационной чувствительности современного человека, мера раскрытия его «палеопамяти» оценивались по динамике восприятия времени, изменениям хронотропного режима сердца, электрической активности головного мозга, светопоглощения кожи, параметров газоразрядной визуализации, а также по эффективности дистантно-информационных (интеллектуальных, «первично-полевых») коммуникаций между людьми и взаимодействий с «клеточными цивилизациями».

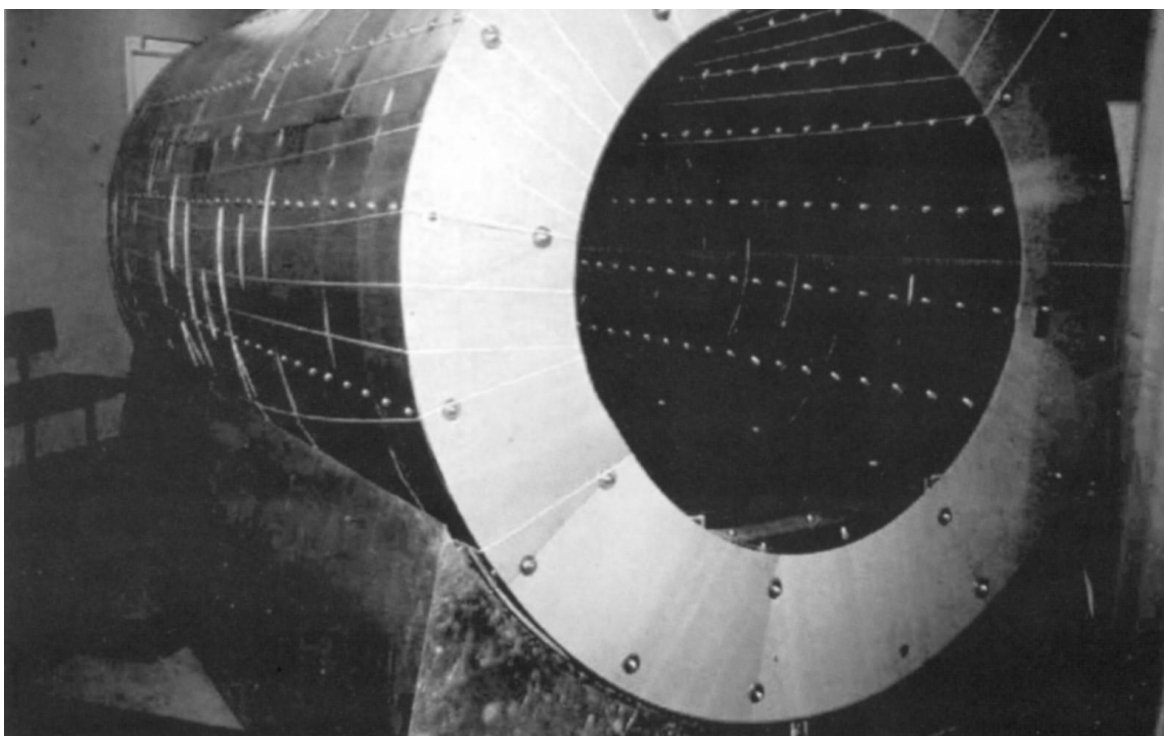


Фото 2. Гипогеомагнитная установка, ослабляющая магнитное поле Земли в 600 раз.

1. Внутреннее восприятие времени как маркер приема информационно-значимых сигналов на палеопсихологическом горизонте

Разработаны и испытаны при психофизиологическом тестировании голограммы (приоритет от 05.05.2003 по заявке № 2003113265/(013980)), содержащие информацию о вселенских объектах (фото 1): галактиках с различными космофизическими характеристиками и культурно-исторических памятниках различных земных цивилизаций и эпох; а также энциклопедическую и художественную информацию за несколько веков.

Были испытаны и голограммы с информацией функционально-регуляторного характера (синхронизация дыхания, двигательная активность различных мышечных групп и т. д.), а также регуляторно-генетической информацией, определяющей стратегию и тактику поведения и мотиваций организма (агрессивность, выносливость и т. д.).

Эффективность восприятия информационных сигналов, «записанных» на голограммах, определялась различными методами. Особо важной представлялась динамика взаимодействия человека с «хрональными полями».

Материалы и методы. Субъективная оценка времени проводилась с использованием оригинального двухканального устройства для теппинг-тестирования с компьютерной регистрацией (пат. РФ № 2161908).

Регистрация временных интервалов осуществлялась одновременно двумя руками. Задача для испытуемого была запустить электронный секундомер, отсчитать про себя 60 с (1-минутный интервал) и выключить его. После 2-минутной паузы проводилась повторная регистрация «индивидуальной минуты» на фоне предъявления информационного сигнала голограммы.

Динамика функциональной асимметрии полушарий при информационных нагрузках оценивалась по абсолютной разнице в миллисекундах значений временных интервалов, регистрируемых левой и правой рукой — по показателю флюктуирующей функциональной асимметрии (ФлФА).

Таблица 5. Длительность индивидуальной минуты ($M + Sd$) при информационных голографических нагрузках на различных этапах исследования

№ теста	Левая кисть			Правая кисть			ФлФА		
	Фон	Нагрузка	p-level	Фон	Нагрузка	p-level	Фон	Нагрузка	p-level
1	64.11			64.11			0.012		
$n = 33$	5.252			5.252			0.008		
2	66.60	66.76	0.600	66.59	66.76	0.600	0.011	0.018	0.003
$n = 30$	9.087	8.615		9.087	8.620		0.009	0.014	
3	63.08	65.82	0.007	63.08	65.81	0.007	0.013	0.013	0.922
$n = 29$	6.722	6.567		6.723	6.565		0.011	0.010	
4	61.56	63.95	0.006	61.44	63.94	0.011	0.014	0.016	0.808
$n = 33$	4.865	6.647		4.893	6.648		0.010	0.016	

Примечание: p-level — достоверность различий по Wilcoxon Matched Pairs Test.

Результаты. При проверке нормальности распределения анализируемых параметров выявлено, что показатели длительности временных интервалов подчинялись закону нормального распределения, а показатели изменчивости интервалов (стандартное отклонение) не всегда имели нормальное распределение. В случаях отклонения от нормального распределения использовались непараметрические критерии.

Оценивались различия между показателями при информационной нагрузке и фоновых замерах.

Результаты, полученные канд. мед. наук А. Г. Горелкиным, приводятся в табл. 5, 6.

Таким образом, информационные голографические нагрузки вызывают достоверный отклик, либо изменяя показатель ФлФА (проба с невизуализированной голограммой; тест 2), либо увеличивая длительность индивидуальной минуты (пробы с визуализированной голограммой; тесты 3 и 4, табл. 5).

По относительно изменению показателей эти два вида нагрузки достоверно различаются по длительности «индивидуальной минуты» (табл. 6). Подтверждением этому служит и отсутствие значимых различий между двумя повторами пробы с визуализированной голограммой (тесты 3 и 4, табл. 6), т. е. проба со второй информационной нагрузкой (визуализированный, но эмоционально не окрашенный голографический образ: информационный кремниевый носитель в пластиковой пробирке) достаточно воспроизводима.

Представляется важным, что технологической особенностью подготовки «носителя», так же как и введения «обучающей» энциклопедической информации, была многочасовая

экспозиция в сфокусированном пространстве алюминиевых зеркал (в «пространстве Козырева», т. е. в экранах, «уплотняющих энергию-время») [16].

Таким образом, на внутреннее восприятие Человеком времени влияет информационно-голографический сигнал, опосредованно представляющий пространство «уплотненной энергии-времени».

Индивидуальная оценка испытываемыми времени оказывается значительно зависимой ($p < 0,05$) от гелиогеофизической среды в их раннем онтогенезе, что проявляется, начиная с 3-го сеанса воздействий преформированной геомагнитной среды в условиях развития космобиологических резервов организма, очевидно, открывающих доступ в «пространство Козырева» с иными пространственно-временными координатами.

Таблица 6. Изменение длительности индивидуальной минуты относительно фона (в %) и абсолютной разницы ФлФА (в мс) при информационных голографических нагрузках на различных этапах исследования (M + Sd)

№ теста	Левая кисть	Правая кисть	ФлФА
1	100.98	100.98	0.010
n = 30	11.237	11.251	0.009
2	104.72	104.72	0.010
n = 29	8.698	8.706	0.008
3	103.96	103.54	0.010
n = 33	8.364	8.147	0.013
Уровень достоверности различий			
1–2	0.046	0.049	0.683
1–3	0.147	0.214	0.417
2–3	0.804	0.964	0.608

Примечание: p-level — достоверность различий по Wilcoxon Matched Pairs Test.

2. Хронотропный режим сердца как индикатор информационно-голографических воздействий на палеопсихологическом горизонте

С целью изучения эффектов информационных воздействий в условиях «космобиотрона» в динамике курса геомагнитного экранирования (ГМЭ) и трансформации геомагнитного наклонения (ТГМН) по параметрам варибельности ритма сердца (ВРС) у практически здоровых молодых мужчин, испытуемых-добровольцев, решались следующие задачи:

1. Оценить эффекты различных видов информационных сигналов по специфике изменений ВРС.
2. Изучить особенности ВРС при различных видах информационных сигналов в динамике курсового ГМЭ и ТГМН.
3. Выявить факторы, определяющие чувствительность человека к различным видам информационных сигналов.

Материалы и методы. В программе исследований по техническому заданию МНИИ-КА приняли участие 40 мужчин, из числа спортсменов различной специализации и квалификации. В окончательную обработку были включены результаты обследования 33-х испытуемых.

До начала работ испытуемые случайным образом были разделены на две группы. Одна проходила курс из 10 сеансов геомагнитного экранирования (ГМЭ), другая — аналогичный по схеме курс в установке, трансформирующей геомагнитное наклонение.

Исследователь, проводивший регистрацию ЭКГ и последующий анализ параметров ВРС, оперировал только кодами групп (1 или 2) и не был информирован о специфике курса в первой и второй группе. Группа 1 (G1) состояла из 19 испытуемых, группа 2 (G2) — из 14.

Регистрация кардиоритма проводилась с использованием прибора «Ней-рон-спектр-3» и компьютерной программы анализа ВРС «Поли-Спектр-Ритм» (фирмы «Нейрософт», Россия, г. Иваново). Длительность записи ЭКГ составляла 330 кардиоциклов (RR-интервалов). Поло-

жение испытуемого во время регистрации ЭКГ сидя в кресле на протяжении всего исследования не изменялось. Фоновая запись проводилась после 5–7-минутного отдыха, запись с «информационным сигналом» — через 1 мин после первого (фонового) измерения. Исходные кривые редактировались, при расчете показателей экстрасистолы исключались.

Оценивались *статистические характеристики* кардиоритма (длительность RR-интервалов): среднее (RRNN), среднеквадратичное отклонение (SDNN), коэффициент вариации (CV), мода (Mo), медиана (Me). Анализировалась *волновая структура* кардиоритма (спектральный анализ): общая мощность спектра (TP), очень низкочастотные колебания (VLF), низкочастотные колебаний (LF), высокочастотные колебания (HF), их процентное выражение (%VLF, %LF, %HF), соотношение (LF/HF) и ряд др. Проводилась *вариационная пульсометрия* по Р. М. Баевскому: определялись вариационный размах (BP), амплитуда моды (AMo), индекс вегетативного равновесия (ИВР), вегетативный показатель ритма (ВПР), индекс напряжения регуляторных систем (ИН), показатель адекватности процессов регуляции (ПАПР).

Для передачи «информационного сигнала» использовались три вида носителей «информационного» сигнала (фото 1):

1. «камень» (подлинная шумерская глиняная табличка);
2. голограмма «камня»;
3. контрольная и «информационная» голограммы интеллектуально-креативного характера.

Исследование кардиоритма проводилось пятикратно на протяжении курса ГМЭ и ГГМН (табл. 7).

Статистическая обработка данных

Анализ нормальности распределения в выборках проводился с использованием показателей асимметрии и эксцесса, критерия Колмогорова–Смирнова, критерия Шапиро–Уилки.

Равенство генеральных дисперсий оценивалось по критерию Фишера.

Значимость различий средних значений оценивалась применением дисперсионного анализа (ANOVA) и критерия Стьюдента (при нормальном распределении), критериев Уилкоксона, Манна–Уитни, Колмогорова–Смирнова.

Множественные сравнения проводились с помощью дисперсионного анализа (MANOVA), непараметрического критерия Фридмана.

Результаты. Общий характер изменений показателей ВРС при предъявлении информационных нагрузок на протяжении курса представлен на рис. 1.

Таблица 7. Этапы исследования информационной чувствительности методом ВРС

Этап	Последовательность сеансов ГМЭ и ГГМН	Дата исследования	Вид носителя «информационного» сигнала
1	Исходно до начала курса или после однократного тестового сеанса	18.09.03, 1–2.10.03, 18.10.03	«Камень» (шумерская глиняная табличка)
2	После 2–4 сеансов	29–30.10.03	Голограмма «камня»
3	После 4–6 сеансов	26–27.11.03	Контрольная и информационная голограммы
4	После 6–8 сеансов	10–11.12.03	Контрольная и информационная голограммы
5	После 8–10 сеансов	24–25.12.03	«Камень»

По полученным данным [5], на третьем этапе исследований можно говорить о влиянии неизвестного фактора на организм испытуемых. Неизвестным фактором являлся для исследователя ВРС и испытуемых (двойной «слепой» метод). Этим неизвестным фактором могла быть голографически предъявляемая испытуемым информация (энциклопедические знания, галерея всемирной живописи) (фото 1), по особой технологии инициированная, сконцентрированная и записанная на информационно-емкую голограмму.

При предъявлении «плацебо камня» (К1) в объединенной группе испытуемых (21 чел.) по ряду показателей выявлялись значимые различия. В пробе с «информационным камнем» (К2) при сохранении общего вектора изменений показатели ВРС отличались от фона более высоким уровнем достоверности. В то же время различий между показателями первой и второй проб не наблюдалось.

В пробах с предметными информационными нагрузками (шумерская табличка) достаточно устойчиво воспроизводились изменения показателей длительности кардиоинтервалов и высокочастотного спектра ВРС.

При анализе проб с голографическими информационными носителями не выявлены специфические изменения, обусловленные различными информационными сигналами (голограмма шумерского «камня» и «интеллектуально-креативная» голограмма). В то же время выявлялись значимые особенности в пробах на различных этапах воздействия преформированной космофизической среды в различных группах, что свидетельствует о зависимости реакций от комплекса внешних факторов, определяемых моделированным пространством. Допуская наличие дистантной информационной трансляции, можно предположить, что ее эффективность также зависит от преформированных гелиогеофизических факторов.

Был проведен корреляционный анализ суммарной изменчивости между различными пробами (табл. 8). Из табл. 8 следует, что изменения в пробах с шумерским «камнем» до курса хорошо коррелируют с аналогичной пробой после курса ($KK = 0.47$). Такой же коэффициент корреляции (KK) между пробами с двумя контрольными «камнями» (не содержащими информации), проведенными через 2 мес после окончания курса. Отсутствие корреляций этих проб с пробами при предъявлении информационных «камней» (шумерской таблички до и после курса) подтверждает различия между ними.

Таблица 8. Корреляционная зависимость между степенью изменения показателей ВРС при предъявлении испытуемым информационных голограмм на различных этапах курса преформированных воздействий

Информационные тесты		Коэффициент корреляции
«Камень» до курса	«Камень» после курса	0.47
	Голограмма «камня»	0.07
	Информационная голограмма на 6-м сеансе	-0.14
	Информационная голограмма на 8-м сеансе	-0.04
	«Камень» К1 (контроль)	0.08
	«Камень» К2	0.02
	К2 относительно К1	0.15
«Камень» после курса	«Камень» К2	0.06



Рис. 1. Динамика низкочастотного спектра кардиоритма (LF) при информационных воздействиях в группах 1 и 2 [5].

Информационные тесты		Коэффициент корреляции
«Камень» К1 (февраль)	«Камень» К2	0.49
Голограмма на 6-м сеансе	Голограмма на 8-м сеансе	0.03
«Камни» (суммарно)	Голограммы суммарно	-0.16

Особенностью была смена знака корреляции в пробах с «камнями» (шумерская табличка) и их голограммами. Возможно, что у части испытуемых проявилась закономерность: чем выше чувствительность в пробах с «камнем», тем ниже чувствительность к информационным голограммам, и наоборот. Очевидна специфичность в реакциях на два вида носителей информационного сигнала. Важно и то, что после курса в экранированном пространстве информационная чувствительность организма человека существенно изменилась: в большинстве случаев — возросла.

Таким образом, частотный кардиоспектр может быть индикатором информационной чувствительности организма, которая претерпевает существенные изменения в ходе курсов преформированных гелиогеофизических воздействий, возможно, возвращающих «палеопамять» об информационных потоках, отдаленных от современного человека на десятки веков, а быть может, и более. Моделирование величин индукции и наклона ГМП в пределах, характерных для различных эпох и цивилизаций, может быть важным элементом принципиально новой технологии направленных изменений информационной чувствительности человека к важнейшим регуляторно-гармонизирующим элементам интеллектуальной голограммы Вселенной.

3. Динамика информационной чувствительности человека в моделированном пространстве, оцениваемая методами газоразрядной визуализации, фотосканирования и электроэнцефалографии

С использованием ковариационного анализа [2] нами установлено, что в конце курса преформированных космофизических воздействий в момент предъявления испытуемым информационных голограмм проявляются значимые комбинации факторов, определяемые спецификой функциональной и профессиональной активности, индивидуальным частотным спектром газоразрядной визуализации (ГРВ) и пренатальной гелиогеофизической средой: уровнем геомагнитной индукции и солнечной активности. Характерно, что в условиях воздействия информационных голограмм проявляется связь с космофизической обстановкой различных пренатальных этапов. Например, при предъявлении голограммы Г2 (фото 1) отмечается большое количество значимых ковариационных комбинаций: цвет глаз, частотный спектр ГРВ, геомагнитная индукция в 1-м триместре внутриутробной Жизни. Метод ГРВ-видео может быть использован при оценке информационной значимости для организма человека различных информационных нагрузок.

После трех «погружений» в преформированное пространство до предъявления информационных голограмм связь параметров ГРВ с уровнем геомагнитной индукции пренатального развития отмечена не была. В процессе предъявления испытуемым информационно-голографического воздействия проявились значимые комбинации спектральных параметров ГРВ с геомагнитной индукцией в 1-й месяц после рождения, в период интенсивного развития головного мозга, с величинами геомагнитной индукции в периоды «преконсивинга», а также во 2-й и 5-й пренатальные месяцы преимущественно у группы, проходившей испытания в гипогеомагнитной среде.

В ходе дальнейшего увеличения числа сеансов преформированных воздействий при фоновом обследовании значимых комбинаций не выявлено, а при предъявлении испытуемым информационно-голографического пакета К2 (информация о потоках «энергии-времени»), моделируемых «световодно-лазерными» устройствами, отмечены значимые комбинации параметров ГРВ в широком диапазоне частот (1.0-1.3; 4.0; 4.7; 7.7-7.8 Гц) с гелиогеофизическими

факторами 3-го месяца внутриутробного развития. В условиях воздействия информационного пакета КЗ проявились значимые комбинации параметров ГРВ (2.1-2.3; 8.4-8.5 Гц) с геофизическими факторами 8-го месяца внутриутробного развития, периода интенсивной дифференцировки отделов и функций головного мозга.

При тестировании испытуемых с использованием информационно-голографического пакета ВЗ (фото 1, II) выявлены иные значимые комбинации: характерно проявление зависимости Кирилан-феномена от геомагнитной индукции в период зачатия организма испытуемых, причем, в отличие от пакетов К2 и КЗ, эта зависимость положительная.

При предъявлении информационного пакета К1 (после экспозиции носителей в «зеркалах Козырева») также проявляются положительные ковариационные комбинации ГРВ параметров (в диапазоне 2.1-2.6 Гц) и уровней солнечной активности и отрицательные ковариации ГРВ частот 2.6 и 7.0 Гц и радиоизлучения Солнца на частоте 202 МГц на даты зачатия и рождения.

Таким образом, качество информации определяет своеобразие ковариационных зависимостей полевой структуры организма от космофизической обстановки в периоды гаметогенеза.

При взаимодействии с информационным пакетом К2 вектор ковариации у испытуемых группы 1 отрицательный, а в группе 2 с геомагнитной депривацией — положительный.

При предъявлении другого информационного пакета ГК1 (контроль без информации; фото 1, III, после экспозиции носителей в «зеркалах Козырева») количество значимых комбинаций оказывается столь же большим, что и при воздействии информации II, но в гораздо большем диапазоне частот ГРВ (от 0,1 до 11,2 Гц). Как и при тестировании пакетом К1, для группы 1 специфичны положительные зависимости, а для группы 2 (в гипогеомагнитной установке) — отрицательные зависимости от факторов солнечной активности в периоды пренатального развития головного мозга (8-й и 9-й месяцы).

С использованием метода «дерево решений» [2] нами показано, что большая часть ГРВ параметров человека оказывается закономерно зависимой от интенсивности электронной компоненты космических лучей и потоков галактических протонов только в условиях предъявления информационно-голографической нагрузки космогонического содержания (фото 1, I).

Выявлено, что интенсивность воздействия гелиогеофизических факторов (геомагнитная индукция, солнечная активность) на 5-9-м месяцах внутриутробного развития организма родителей определяет меру чувствительности испытуемых к информационно-голографическим нагрузкам палеопсихологического содержания (фото 1, II).

По данным светодиагностики (фотосканирования — метода, разработанного в лаборатории клинической физиологии НЦКЭМ СО РАМН [9]), в конце курса преформированных космофизических воздействий нами отмечены значимые ковариационные комбинации, описывающие вероятность раскрытия космобиофизических резервов организма по увеличению поглощения светового потока заданной длины волны в условиях предъявления испытуемым голограммы с информацией об энергоинформационных событиях в установке для коррекции психосоматических заболеваний (вертикальных «зеркалах Козырева»), имевших место 19 июня 2001 г. (см. [8]) и отсутствия геомагнитных возмущений в период «прекон-сивинга» (до зачатия организма) испытуемых.

Соотношение уровней светопоглощения и светоотражения значимо зависит от величины Вт-составляющей ГМП, по-разному выраженной в группах 1 и 2 с различным видом преформации ГМП.

Пребывание человека в различных ячейках преформированного пространства (по вектору и выраженности геомагнитного наклонения и степени ослабления ГМП) проявляет ковариационную зависимость светопоглощения кожных покровов височной части головы (слева и справа) и других участков тела от широкого спектра космофизических факторов, зарегистрированных в момент обследования.

Преобладающая часть значимых комбинаций фиксируется либо после 30-минутного пребывания человека в преформированном пространстве, либо после предъявления информационно-емкой голограммы. Наиболее часто в числе значимых комбинаций оказываются протонная и нейтронная компоненты космических лучей, скорость «солнечного ветра», температура солнечной плазмы и Vt-составляющая ГМП.

По мере увеличения числа погружений в преформированное гелиогео-физическое пространство проявляется значимо выраженная ковариационная связь с географической широтой места проведения исследований, электронной компонентой космических лучей и Vz-составляющей ГМП.

Представляется важным, что выраженность светопоглощения кожными Покровами находится в значимой ковариационной зависимости от цвета глаз испытуемых, места их рождения, типа строения, в котором проходило внутриутробное развитие и космофизической ситуации в момент проведения исследования. В числе ведущих гелиобиотропных факторов: протонная компонента космических лучей, географическая долгота и различные компоненты ГМП. Подавляющая часть ковариационных зависимостей проявляется только после пребывания в преформированной среде или во время информационно-голографической нагрузки.

Объем памяти, успеваемость, творческая активность испытуемых оказываются в значимой ковариационной зависимости от величины кожного светопоглощения после кратковременной преформации ГМП и структуры космофизического пространства во время информационно-голографического тестирования: фактор «память» — в ковариационной зависимости от скорости «солнечного ветра», температуры солнечной плазмы, протонной и нейтронной компонент космических лучей, выраженности ГМП-составляющих при проведении светодиагностики, а фактор «творчество» — в ковариационных значимых комбинациях с величиной светопоглощения (после преформированной и голографической нагрузок), Vt-составляющей ГМП, температурой солнечной плазмы и потоком протонов очень высоких энергий.

Значимых комбинаций между величинами светопоглощения и гелиогео-физическими факторами пренатального онтогенеза организма испытуемых при первых трех обследованиях не выявлено. Наибольшее число значимых ковариационных связей подобного рода зарегистрировано при 4-м и 5-м обследованиях: в большей части случаев — после пребывания в экспериментальных установках или предъявления информационных голограмм. Все эти связи — с гелиофизической активностью в различные периоды пренатального развития организма испытуемых, а также с индукцией геомагнитного поля при фоновых исследованиях отсутствуют. В других сеансах значимые комбинации вновь не выявлялись.

До предъявления испытуемым информационно-голографической нагрузки на динамику светопоглощения влияла геофизическая ситуация (уровень геомагнитной индукции) в 1-й и 3-й месяцы внутриутробного развития организма отцов.

После предъявления через голограмму палеопсихологических сигналов, сформированных в «пространстве Козырева» (фото 1, I, 6), спектр влияния (на уровень светопоглощения) полевой космофизической среды существенно изменялся.

Выявлено влияние обстановки периода пренатального развития организма отцов, влияние геофизических факторов в 1, 3, 9-й месяц пренатального развития и в день рождения матерей, а также за 1 мес до зачатия организма испытуемых. На увеличение интеллектуальных возможностей и на динамику светопоглощения при предъявлении «kozyrevского палеоинформационного голографического сигнала» оказывает влияние интенсивность протонной и нейтронной компонент космических лучей различных энергий, что подтверждает роль космофизической среды и возможность развития интеллектуальных способностей человека, испытывавшего определенные полевые космофизические воздействия в поколениях ближайших родственников (родителей), с использованием погружений в гипогеомагнитную среду.

После предъявления испытуемым голограммы, содержащей информацию из различных палеопсихологических горизонтов, сформированную в «пространстве Козырева» (19 июня 2001 г.), в группе, проходящей испытания в условиях преформированного геомагнитного наклоне-

ния, но сохраненной индукции, по мере увеличения количества сеансов определяющими являются показатели гелиогеофизической среды во время пренатального развития организма отцов. При этом вектор и величина геомагнитного наклонения имеют значимо определяющее влияние на динамику светопоглощения при палеоинформационной нагрузке.

В условиях ослабленного ГМП проявляется значимая зависимость регистрируемых параметров от пренатальной геофизической обстановки обоих родителей, а также степени радиационного излучения Солнца в период зачатия организма самих испытуемых. В этой группе проявляется зависимость динамики светопоглощения в ответ на палеоинформационную голографическую нагрузку от протонной и электронной компонент космических лучей.

Развитие интеллекта у испытуемых к концу курса кратковременных погружений в гипогеомагнитное пространство оказывается значимо сопряженным с уровнем геомагнитной индукции в 1-ю нед внутриутробного развития организма их отцов.

По данным электроэнцефалографии (ЭЭГ) [6], в условиях дистанционного воздействия информационно-емких голограмм проявляются значимые различия в реакциях по ряду электроэнцефалографических параметров между испытуемыми-носителями коротких и длинных аллелей гена D4. При предъявлении голограммы В6 (шумерские изображения; фото 1, I) отмечаются значимые различия в этих группах по амплитуде тета-ритма (в правом затылочном и центральном отведениях) и частоте дельта-ритма (в центральном отведении ЭЭГ). При тесте с контрольной голограммой значимые различия не проявились по частоте бета-ритма (в левом височном отведении). При воздействии опытной голограммы В6 (галактические объекты, Солнце), в отличие от контрольной, наблюдается целый спектр значимых различий по амплитуде тета-ритма (центральное, левые височное и лобное отведения), по частоте тета-ритма (центральное, левые височное и затылочное отведения), по амплитуде дельта- и бета-ритмов (в правом и левом височных отведениях соответственно).

Таблица 9. Динамика значимо различающихся спектральных параметров ЭЭГ* у испытуемых носителей коротких или длинных аллелей гена D4 в зависимости от вида информационно-голографической нагрузки и этапа преформированных гелиогеофизических воздействий

Дата обследования	Вид нагрузки	Амплитуда				Частота			
		дельта	тета	альфа	бета 1, 2	дельта	тета	альфа	бета 1, 2
12-13.11.02 г.	Контроль без голограммы	–	–	–	–	–	–	–	T3
	Голограмма В6	–	O2, Cz	–	–	Cz	–	–	–
	Голограмма В9	T4	F3, T3, Cz	–	T3	–	T3, O1, Cz	–	–
3-4.12.02 г.	Контрольная голограмма ГК2	–	–	–	–	–	–	–	–
	Голограмма П-2	–	T3	Cz	T4	T3	T3, T4, O2, Cz	–	–
17-18.12.02 г.	Контрольная голограмма № 1	T3	–	T3	–	T3	T4	–	O2
	Голограмма № 3	O2	–	–	T3	O2	–	–	F3
	Голограмма № 4	–	T4	O2	–	–	–	O2	–
	Голограмма № 8	–	–	–	–	–	–	–	–

* Указаны стандартные отведения (F — лобные, T — височные, O — затылочные, Cz — центральное), в которых проявились значимые изменения.

Предъявление голограмм Г1-2 (Всемирная энциклопедия, галерея искусств) (фото 1, III), в отличие от контрольной голограммы проявилось значимыми различиями по амплитуде тета-ритма (в левом височном отведении), альфа-ритма (в центральном отведении), бета-ритма (в правом височном отведении); по частоте дельта-ритма (в левом височном отведении), тета-ритма (в правом и левом височном, правом лобном и центральном отведениях).

Предъявление испытуемым в один из дней контрольной (№ 1) и информационно-емких голограмм с космогонической информацией сопровождалось характерным для каждой из них перераспределением электрической активности головного мозга (табл. 9), а при предъявлении голограммы № 8 (фигуры на знаковых полях) — исчезновением значимых различий по сравнению с контрольной голограммой.

Таким образом, впервые были показаны специфические изменения электрической активности головного мозга человека в ответ на дистанционное предъявление (через голограммы) информации космогонического и культурно-исторического значения. Банк информационной «палеопамати», очевидно, формируется и транслируется через поколения на генетической основе, возможно, с участием волнового генома [4].

4. Эффективность дистантно-информационных взаимодействий в «пространстве Козырева»

На 1-м этапе исследований нами была показана роль сфокусированных алюминиевыми экранами потоков «энергии-времени» (по Н. А. Козыреву) в обеспечении дистанционной передачи и приема мыслеобразной информации.

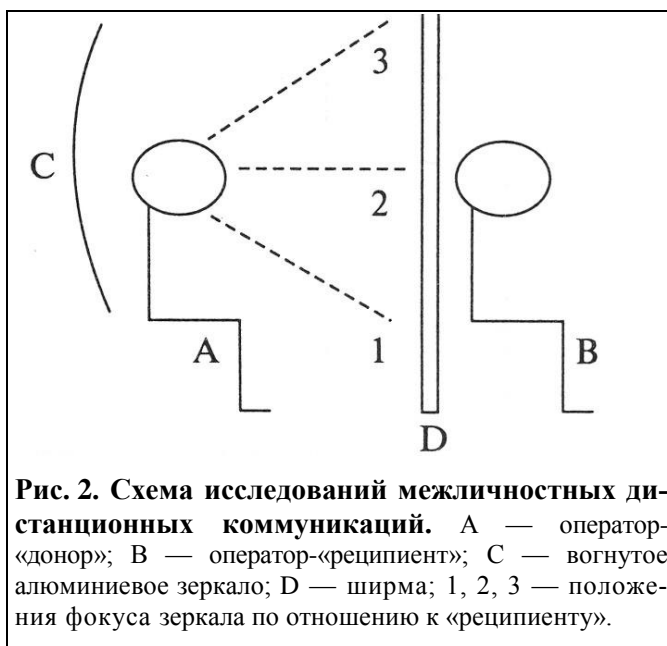
Оценка эффективности дистанционной трансляции информации (карты Зеннера) от человека к человеку проводилась на ближних расстояниях (до 1.5 м), в условиях, когда голова передающего оператора находилась в вогнутом, перемещающемся вокруг вертикальной оси, алюминиевом зеркале (позиции 1, 2, 3 на рис. 2), а голова принимающего оператора в фокусе зеркала оказывалась только в положении 2 (рис. 2).

Целью работы было исследование роли отраженных от зеркала и сфокусированных потоков («энергии-времени») в дистанционной трансляции мысле-образной информации и роли преформированной гелиогеофизической среды в эффективности трансперсональных взаимодействий.

По данным непараметрического теста, в положении 2 отмечены значимые различия в уровне точно воспринимаемой информации между испытуемыми, находившимися в ослабленном ГМП и в условиях преформированного геомагнитного наклонения.

Апробированная модель «пространства Козырева» обеспечивает точность дистанционной трансляции информации на ближние расстояния. Фокусированные потоки «энергии-времени» участвуют в реализации мыслеобразной информации.

В положении 3 (в ходе инициации резервов головного мозга в «козыревском» фокусном пространстве) проявляется значимая ковариационная зависимость последующего развития памяти



и интеллекта оператора-«реципиента» (после 4-месячного курса геомагнитной депривации) от величины протонной компоненты космических лучей и геомагнитной индукции.

Эффективность дистанционной передачи информации оказалась значимо зависимой и от соотношения солнечной и геомагнитной активности (индекс «магнитопрозрачности») в день рождения матерей испытуемых.

Целью 2-го этапа исследований явилась оценка пространственно-временной динамики интеллекта в моделированном «пространстве Козырева» с использованием палеопсихологических носителей информации.

Задачи.

1. Изучить энергоинформационную ритмику палеопсихологических носителей информации.
2. Изучить возможность дистанционной трансляции палеопсихологической информации современному человеку в «пространстве Эйнштейна–Минковского» и в «пространстве Козырева».

Методы.

1. Устройство для коррекции биофизических полей человека (пат. РФ № 2141357 от 20.11.1999), моделирующее пространство с уплотнением «энергии-времени» (по Н. А. Козыреву) (рис. 3, фото 3).
2. Прибор «Коррек» для газоразрядной визуализации (ГРВ) полевой структуры человека.
3. Субъективная оценка испытуемыми своего состояния в устройстве для коррекции биофизических полей («зеркала Козырева»).



Фото. 3. Установка для коррекции биофизических полей человека («зеркала Козырева»).

Средства. В качестве образца-носителя информации из палеопсихологического горизонта информационного поля Земли использована подлинная глиняная шумерская табличка с датировкой 2250 лет до н. э., содержащая список имен жителей шумерского государства, нахо-

дящихся в долговых обязательствах по отношению к автору клинописи, т. е. своеобразную энграмму палеопсихологических отношений, отдаленных от нас на 4253 года (фото 4).

Контингент. Группа здоровых лиц мужского пола, рождения 1983–1985 гг ($n = 38$).

Условия.

1. ГРВ-видеограмма глиняной таблички.
2. Глиняная табличка до ГРВ-записи помещалась в устройство для коррекции биофизических полей в частотно-модулированное (7.0-10.0 Гц) гелий-неоновым лазером пространство.

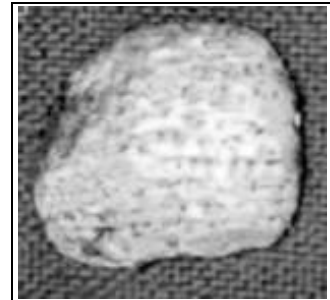


Фото 4. Подлинный объект — шумерская табличка

Результаты. Обсуждение. При ГРВ информационно-емкого объекта — глиняной шумерской таблички с клинописью — показано, что 90-минутное пребывание в частотно-модулированной среде (7.0–10.0 Гц), образованной световодным контуром, в устройстве для коррекции биофизических полей человека, изменяет спектральную плотность объекта в диапазоне, близком к частоте модуляции [22] (рис. 2).

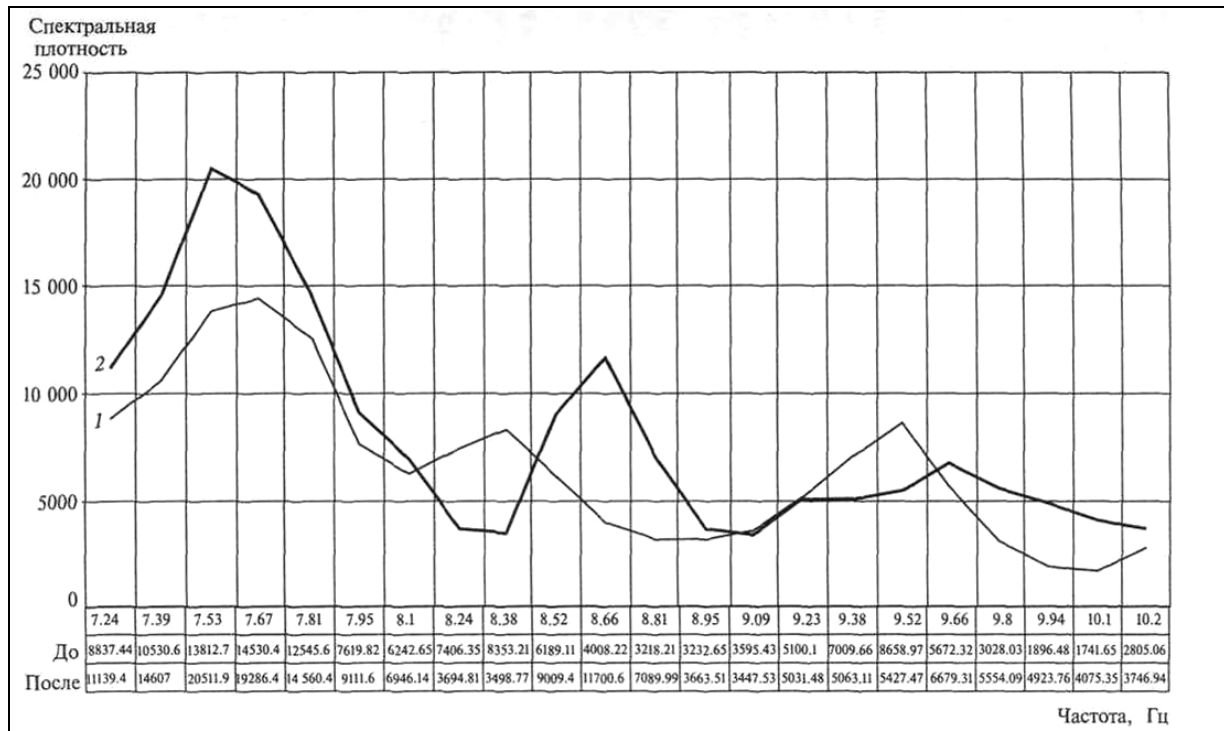


Рис. 3. Изменение спектральной плотности ГРВ-свечения объекта информационного носителя № 1 в диапазоне 7.2-10.2 Гц при обработке в световодно-лазерном контуре с модуляцией светового потока 7.0-10.0 Гц. 1 — до обработки, 2 — после 90-минутной обработки.

В наших многолетних исследованиях с использованием «зеркал Козырева» описан целый ряд феноменов измененного восприятия испытуемыми пространственно-временного континуума [12, 15, 10].

В эксперименте по дистантно-информационным коммуникациям, проведенном в 1998 г. совместно с членами международного общества SMN: Великобритания (Стоунхендж) — Новосибирск («зеркала Козырева»), было показано, что в условиях дистанционной трансляции из

Новосибирска символов и образов шумерской культуры передаваемые образы практически не были восприняты, а около 80 % «принятых» знаков сознательно не передавались операторами из Новосибирска, но имели прямую или косвенную принадлежность к рисункам и описаниям древних шумеров [21].

В настоящем исследовании с объектом шумерской культуры, возможно, сохранившим в глине палеопсихологическую информацию, мы ожидали ее инициацию и восприятие испытуемыми в «пространстве Козырева».

Результаты субъективной оценки состояния испытуемых представлены в табл. 1. Из табл. 1 следует, что в дни частотной модуляции пространства «зеркал Козырева», где располагался информационный объект — шумерская табличка, испытуемыми в той же пространственной ячейке фиксировалось наибольшее число вибраций и вращений, косвенно свидетельствующих о возможном соприкосновении с иным информационно-культурным горизонтом, точное обозначение которого пока невозможно.

Важно напомнить, что в материалах наших исследований, описывающих уникальные энергоинформационные события в «пространстве Козырева» 19 июня 2001 г., использовалась та же технология информационной инициации объектов, принадлежащих различным культурно-историческим пластам.

По данным ковариационного анализа у части волонтеров, испытавших резонансно-синхронизирующее воздействие палеоинформационного источника в «пространстве Козырева», после серии последующих тестов в гипогеомагнитных установках, усиливающих биокосмофизические связи, увеличился креативно-интеллектуальный потенциал.

Таблица 1. Субъективная оценка состояния испытуемых при нахождении в устройстве для коррекции биофизических полей человека (24 попытки за 4 мес)

№№	Состояние испытуемых	Число описаний		
		I	II	III
1	Вибрация тела	2	17	—
2	Вращение тела	1	12	2
3	Ощущение космического полета	3	19	1
4	Восприятие образов с восточными чертами лица	3	7	2
5	Слуховые галлюцинации (речь на незнакомых языках)	1	4	1
6	Фрагменты символов шумерской культуры	—	2	—
	Итого...	10	61	6

Примечание. I — за 1 день до частотной модуляции экранированного пространства и информационного носителя; II — в день частотной модуляции; III — на следующий день после проведения частотной модуляции.

Вывод. Таким образом, была показана возможность частотной инициации (в диапазоне частот головного мозга человека) палеопсихологической информации с объекта, принадлежащего шумерской культуре, и ее последующей резонансно-синхронизирующей ретрансляции нашим современникам, что может способствовать укреплению межличностных отношений и развитию интеллектуально-творческого потенциала [11, 14].

Метод газоразрядной визуализации (ГРВ), по-видимому, обозначающий новый этап в познании космофизической природы человека, позволяет визуализировать распределение и анализировать взаимодействие энергетических потоков в гелиогеофизическом пространстве (после обработки данных с использованием новых математических алгоритмов и представления их в графических образах, отражающих динамические, фрактальные пространственно-полевые свойства живого вещества). Мы солидарны с мнением одного из ведущих авторов метода ГРВ, профессора К. Г. Короткова в том, что этот подход открывает новый горизонт в понимании жизни, интеллекта и сознания. Очевидно, формируется новое научное направление —

информационная космогеобюфизика, «занимающаяся исследованием стохастических, вероятностных, волновых свойств биологических объектов и использующая методы теорий информации, больших систем, синергетики, квантовой физики в приложении к процессам жизнедеятельности» [18] во взаимодействии с космофизической средой.

Для получения информации об исследуемом объекте обычно определяются параметры разряда, поддающиеся количественным оценкам и характеризующие разрядные треки (длину, количество, степень разветвленности), форму разрядной фигуры (радиус, площадь, симметрию, фрактальную размерность), интегральную интенсивность свечения разряда и спектральный состав излучения. Характерно, что в методе ГРВ электромагнитное поле (ЭМП) является «порождающим полем», вызывающим отклик биообъекта с модификацией параметров газового разряда и порождаемого им оптического излучения, коррелированных с изменением свойств среды и биообъекта. Поэтому ГРВ, с нашей точки зрения, можно применять для оценки «биокосмофизического сопряжения».

Информационно значимыми сигналами можно считать те воздействия на организм, которые характеризуются интенсивностью стимула, меньшей абсолютного порога ощущений, и инициируют развитие цепочки психофизиологических процессов. В обычных физиологических представлениях подпороговые сигналы, в том числе сигналы космофизической среды, считаются незначимыми и не являются предметом исследования психофизики. Между тем они вызывают разнообразные специфические реакции, протекающие за счет «свободной энергии» организма во взаимодействии с космопланетарными энергоинформационными потоками. Априори невозможно определить, какое из слабых информационных воздействий окажется резонансным и вызовет максимальный информационный отклик.

Целью исследований на 3-м этапе было изучение с помощью метода ГРВ возможности и условий формирования пространственно-полевой резонансной синхронизации между людьми.

Задачи.

1. Изучить влияние моделированного пространства, образованного алюминиевыми экранами и световодно-лазерными конструкциями на эффекты резонансной синхронизации ГРВ.
2. Оценить роль палеопсихологических носителей информации в эффектах резонансной синхронизации.

Методы и оборудование.

1. Статическая и динамическая (с подачей ЭМП импульсов в течение 7 с) ГРВ-графия на приборе «Коррекс» (РУ МЗ РФ № 29/06111299/3064-02) компании Kirlionics Technologies Int. Ltd. Математический анализ 170 видеок кадров с использованием компьютерного обеспечения GDV Software.

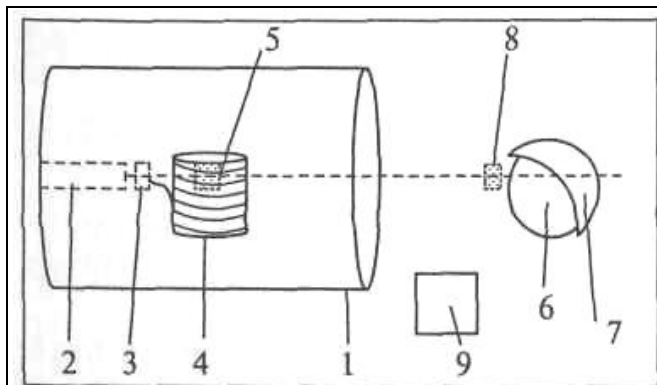


Рис. 4. Схема регистрации ГРВ-информационно-энергетического резонанса в моделированном пространстве Козырева.

1 — устройство для коррекции биофизических полей человека, 2 — гелий-неоновый красный лазер, 3 — частотный модулятор лазерного луча (7 Гц), 4 — световодный спиральный контур, 5 — информационный синхронизирующий источник № 1, 6 — голова испытуемого, 7 — малые «зеркала Козырева», 8 — информационный синхронизирующий источник № 2, 9 — блок регистрации ГРВ-видео с 4-го пальца правой руки.

2. Повторная запись ГРВ-видео после однотипной интеллектуальной нагрузки (решение математической задачи с заданным ответом «777») и «погружения» в среду с ослаблением геомагнитного поля и изменением угла его наклона.
3. Компьютерная программа «Гелиос» (свидетельство об официальной регистрации № 970125 от 24.03.1997).
4. Устройство для коррекции биофизических полей человека (пат. РФ № 2141357 от 20.11.1999)
5. Устройство для переноса информации на объект (пат. РФ № 2163491 от 27.02.2001).
6. Локальный алюминиевый экран, размещаемый на голове испытуемого.
7. Гелий-неоновый лазер со световодом, образующим спиральный контур, и частотным модулятором.
8. Информационные синхронизирующие источники с временным лагом 4250 лет (№ 1) и 1970 лет (№ 2) на глиняной (№ 1) и алюминиево-деревянной (№ 2) основах.

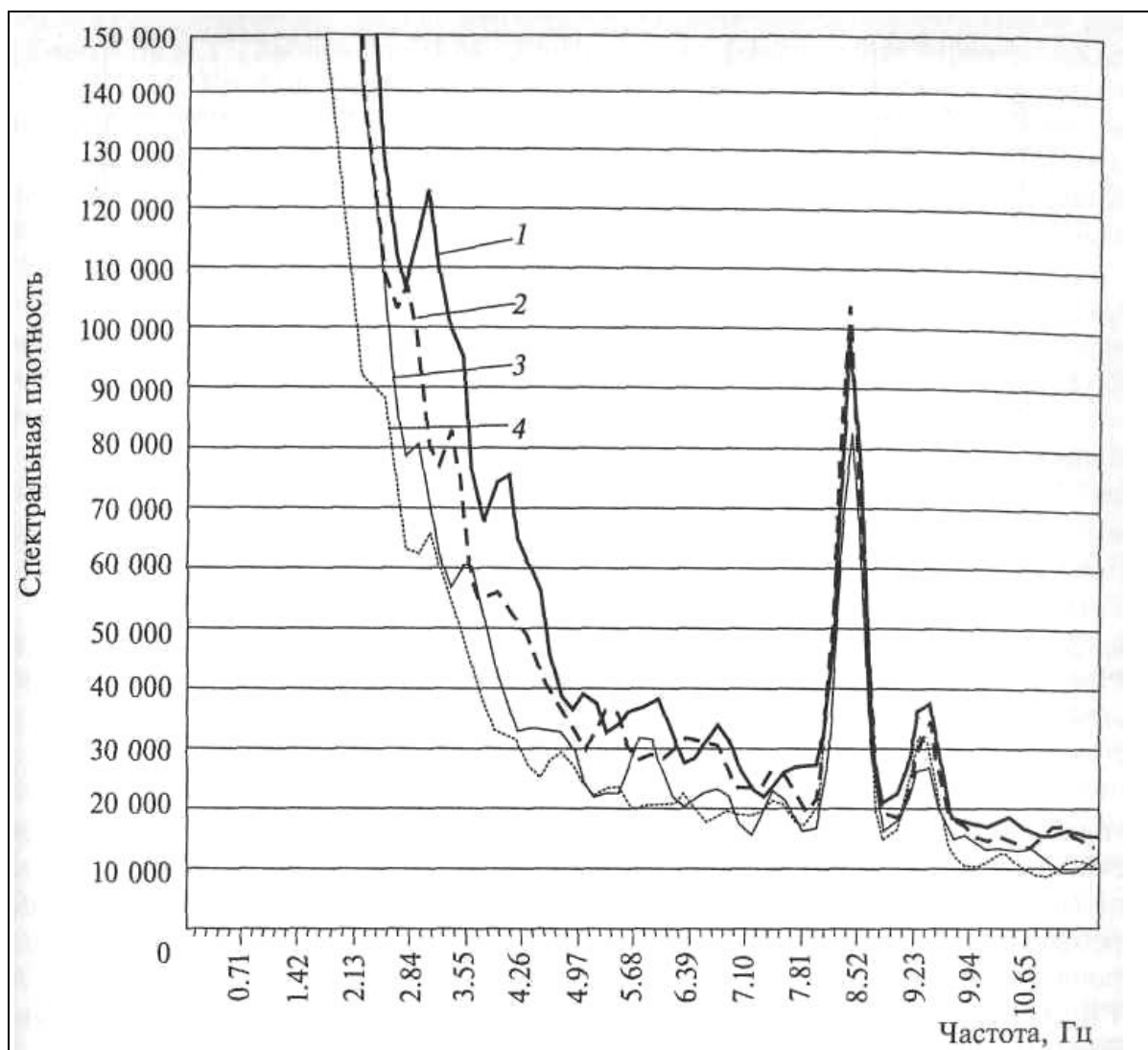


Рис. 5. Динамика спектральной плотности свечения IV пальца испытуемых (группы 1 и 2, $n = 38$) при ГРВ-видеосъемке (7 с, 170 кадров) в моделированном пространстве, организованном по полной схеме (17–18 сентября 2002 г.). 1 — до ГМЭ⁽²⁾, 2 — после ГМЭ⁽²⁾, 3 — до ГМЭ⁽¹⁾, 4 — после ГМЭ⁽²⁾. ГМЭ — геомагнитное экранирование.

Контингент. Мужчины 18–20 лет, изъявившие добровольное согласие на проведение исследований (40 чел.).

Условия. Схема экспериментального исследования представлена на рис. 4. Исследование проводилось дважды 17–18 сентября 2002 г. — по схеме на рис. 3, а также 24–25 декабря 2002 г. и 25–26 февраля 2003 г. — контроль (без установки для коррекции биофизических полей, лазера со световодом и информационного источника № 1).

Результаты. Результаты компьютерной обработки 156 динамических (видео) ГРВ-грамм в группе испытуемых ($n = 38$), обследованных 6 раз 17–18 сентября и 24–25 декабря 2002 г., представлены на рис. 5, 6. Динамика площади свечения IV пальца 38 испытуемых (среднегрупповые величины), по данным 4-кратной ГРВ-видеосъемки, не имела резко выраженных градиентов. Кривые распределения по частотам средних по группе ($n = 38$) величин спектральной плотности свечения в каждой из 4 серий ГРВ-регистраций имеют характерный пик с максимумом 100 000 ед. спектральной плотности на частотах 7.8–8.7 Гц (рис. 5). Этот пик отсутствует при повторных обследованиях той же группы испытуемых, проведенных 24–25 декабря 2002 г. и 25–26 февраля 2003 г., когда в эксперименте не использовались установка для коррекции биофизических полей человека (горизонтально-цилиндрический алюминиевый экран), световодно-лазерный контур и информационный источник № 1 (рис. 6).

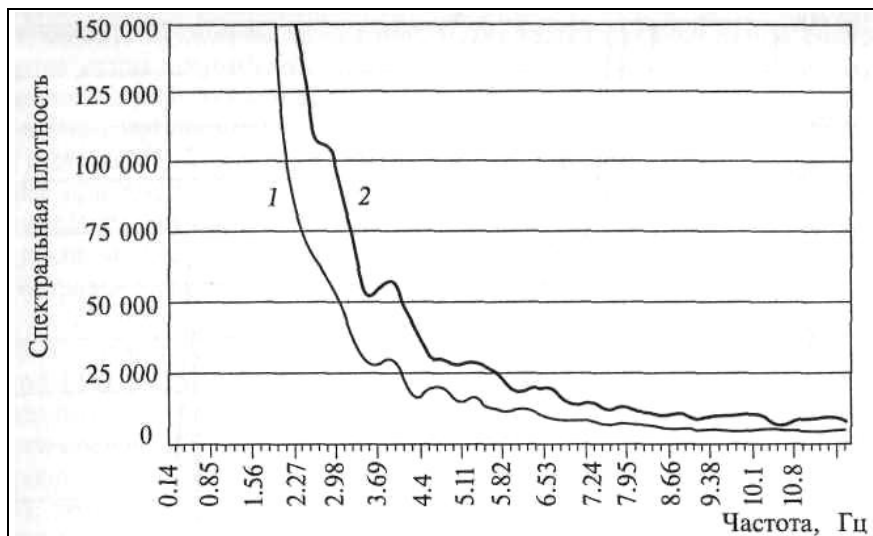


Рис. 6. Динамика спектральной плотности свечения IV пальца испытуемых ($n = 31$) при ГРВ-видеосъемке (7 с, 170 кадров) в моделированном пространстве, организованном по неполной схеме, без «зеркал Козырева» (24–25 декабря 2002 г.). 1 — до, 2 — после ГМЭ.

При сравнении ГРВ объекта, предполагаемого носителя синхронизирующей информации № 1, до и после обработки в частотно-модулированном световодно-лазерном контуре и ГРВ группы лиц были выявлены характерные соответствия распределений спектральной плотности объекта-резонатора и группы испытуемых (рис. 3, 5) [23].

Обсуждение. В предпринятом исследовании рассматривалась возможность ГРВ-регистрации у группы лиц ($n = 38$) резонансно-синхронизирующего энергоинформационного воздействия, дистанционно предъявляемого испытуемым в двух вариантах: 1) на глиняном носителе из палеопсихологического горизонта информационного поля Земли (4250 лет), находившемся до начала ГРВ-съемки в световодно-лазерном контуре с модуляцией светового потока в пределах 7.0–10.0 Гц, в пространстве, образованном алюминиевым цилиндром («зеркалами Козырева»); 2) на алюминиево-деревянном носителе из палеопсихологического горизонта глубины 1970 лет — кресте из Храма Гроба Господня в Иерусалиме, размещенном в контейнере перед полушариями головного мозга, заключенного в затылочно-теменных и височных отделах в локальный экран — вогнутое алюминиевое зеркало с диаметром ~ 25.0 см.

Поскольку метод биоэлектрографии является методом стимулированного ответа, следует учитывать, что когда подается импульс, организм как пространственно-полевая структура, функционирующая на резонансных принципах, реагирует на него в соответствии со своим со-

стоянием. Короткий импульс, содержащий (по принципу разложения Фурье) широчайший спектр частот, формирует ГРВ-отклик, содержащий весь частотный диапазон [18], включающий, очевидно, и часть спектра космофизических флюктуации.

Динамика в группе испытуемых ($n = 38$) площади свечения и спектральной Плотности IV пальца правой руки (рис. 6) убедительно показывает, что при 4-кратном повторении в течение нескольких часов ГРВ-съемки у каждого человека (до и после предъявления частотно-модулированного информационного сигнала при информационной поддержке носителя № 2, а также до и после пребывания в эволюционно значимых условиях геомагнитной депривации) проявляется идентичность характера «электронных лавин», фиксируемых при ГРВ-съемке в каждой из 156 суммарных биоэлектрографических видеозаписей общей продолжительностью 20 мин.

Анализируя банк биоэлектрографических данных обследованной группы лиц, мы пришли к заключению, что кривые временной развертки площади свечения не содержат (при четырех повторях) экстремально объединяющих событий. В то время как при частотной развертке по спектральной плотности ГРВ свечения IV пальца в каждой из 156 видеобиоэлектрограмм подобное событие зафиксировано (рис. 6). Это — два синхронных пика, один — большой, достигающий по спектральной плотности 100 000 ед. в частотном диапазоне 7.8–8.7 Гц, а другой — малый с максимумом 40 000 ед. спектральной плотности в диапазоне частот 8.7–9.7 Гц. Мы считаем зарегистрированные явления признаком резонансной синхронизации с информационным источником № 1 в «пространстве Козырева».

С использованием методов ГРВ зарегистрированы эффекты взаимодействий физических и интеллектуальных полей [24], показаны биоэлектрические феномены физической модуляции паттернов энергоэмиссионных процессов при гипнозе и трансах [3], зафиксированы особенности психоэмоционального состояния, типичные для дистанционной ментальной передачи данных из монастыря Тьянбоче в Москву [19], а также для развития «прямого видения» (по В. М. Бронникову) в процессе предъявления испытуемым на экране монитора геометрических фигур и текстов [17]. Показано, что при выполнении испытуемыми ментальных упражнений характерными изменениями ГРВ-грамм (IV пальца) являются уменьшение общей площади изображения при одновременном увеличении фрактальности и фрагментации [1].

Частоты (~7.0–10.0 Гц), инициированные в источнике № 1 через лазерно-световодный контур в экранированном (алюминиевом) пространстве, были резонансно восприняты всеми испытуемыми. Синхронный ответ на всех 156 биоэлектрограммах IV пальца начинался на частоте 7.8 Гц.

По литературным данным, в процессе биоэнергоинформационного воздействия с использованием более 70 частотных вибраций под контролем ГРВ-метода отмечается гармонизация волновой структуры человека и синхронизация с циркадным ритмом шумановской частоты 7.8 Гц [7].

Эффект «затягивания частот», очевидно, оказывается возможным лишь при определенной предуготованности полевых структур головного мозга. Подготовительную роль в нашем исследовании, возможно, выполнял информационный источник № 2. При 4-кратном повторении исследования у тех же испытуемых 24-25 декабря 2002 г. и 25-26 февраля 2003 г. в условиях отсутствия синхронизирующего информационного источника № 1, лазерно-светового контура и экранированного алюминиевого пространства (в остальном — с применением идентичной схемы; локальной экранировки головного мозга и информационного источника № 2) во время регистрации ГРВ характерный синхронно-резонансный всплеск на частоте 7.8 Гц [22] отсутствовал (рис. 5).

В качестве альтернативной гипотезы нельзя исключить, что курс испытаний, проводившихся в условиях геомагнитной депривации и трансформации магнитного наклонения, уменьшал возможности энергоинформационной синхронизации.

Выводы.

1. Моделированное пространство, образованное алюминиевыми экранами и световодно-лазерным контуром с частотной модуляцией светового когерентного излучения в диапазоне волновых структур головного мозга, способствует резонансной синхронизации частотных характеристик ГРВ-грамм организма в коллективе из 38 чел.
2. Палеопсихологические носители со значительным временным лагом (до 4250 лет) в условиях моделированного пространства («пространства Козырева») могут быть ретрансляторами частотно модулированной информации.
3. Гармонизирующие информационные нагрузки в моделированном пространстве способствуют эффектам резонансной синхронизации полевых структур в группах взаимодействующих между собой людей в диапазоне 7.5-8.7 Гц, близком к транслируемым частотам.
4. Условия кратковременной геомагнитной трансформации (депривация и изменение геомагнитного наклона) могут влиять на восприятие организмом человека синхронизирующих частотно-модулированных воздействий.
5. Каналы моделированного пространства, образованного алюминиевыми экранами, обеспечивают эффекты синхронизации минимум в течение 6 ч после информационной инициации.

(продолжение следует)

Л и т е р а т у р а :

1. *Бабицкий М. А., Муромцев Д. И.* Проектирование систем экспресс-диагностики качества ментальной подготовки спортсменов на основе метода газоразрядной визуализации // Тез. VI междунар. науч. конгр. по ГРВ биоэлектрографии. — СПб., 2002. — С. 66.
2. *Бериков В. Б.* Методика статистического исследования для анализа психофизиологических резервов организма человека // Вестн. МНИИКА. — 2002. — № 9. — С. 122–132.
3. *Бундзен П. В., Коротков Г. К.* Результаты и перспективы использования технологии газоразрядной визуализации в теоретической и прикладной психофизиологии // Тез. науч.-практ. конф. «Системный подход к вопросам анализа и управления биологическими объектами». — М.; СПб., 2000. — С. 17–18.
4. *Гаряев П. П.* Волновой геном. Энциклопедия русской мысли: Русское физическое общество. — М.: Общественная польза, 1994. — Т. 5. — 280 с.
5. *Горелкин А. Г.* Медленные колебательные процессы при геомагнитном экранировании // Вестн. МНИИКА. — 2002. — № 9. — С. 53–61.
6. *Девцин Д. В.* Динамическая оценка электрической активности головного мозга человека и проблема развития психофизических резервов организма в экранированном пространстве // Вестн. МНИИКА. — 2002. — № 9. — С. 77–82.
7. *Дьячков А. И. и др.* Использование ГРВ камеры в космоэнергетической практике // Тез. докл. VI Междунар. науч. конгр. по ГРВ биоэлектрографии. — СПб., 2002. — С. 118.
8. *Казначеев В. П., Трофимов А. В.* Космофизическая интеллектуальная голограмма в моделированном «пространстве Козырева». // Физика сознания и жизни, космология и астрофизика. — 2006. — № 3. — С. 4–12.
9. *Казначеев С. В., Молчанова Л. В., Томилова Л. М. и др.* Функциональная асимметрия полушарий головного мозга человека в условиях взаимодействия с преформированным природным магнитным полем (по данным фотосканера «Луч») // Вестн. МНИИКА. — 2002. — № 9. — С. 69–76.
10. *Казначеев В. П., Трофимов А. В.* Интеллект планеты как космический феномен. The Planet Intellect as a Cosmic Phenomenon. — Новосибирск: Изд. дом «Альтмилла КОЛТД», 1997. — 110 с.
11. *Казначеев В. П., Трофимов А. В.* Космическая антропозология, космопланетарная эволюция и палеопсихологические резервы современного человека // Докл. VI Междунар. конгр. «Некомпьютерные информационные технологии». — Барнаул: Изд-во АлтГТУ, 2003. — Т. 1. — С. 17–21.
12. *Казначеев В. П., Трофимов А. В.* Новые данные о взаимодействии человека с информационным полем Земли в приполярных районах // Бюл. СО РАМН. — 1992. — № 4. — С. 46–48.
13. *Казначеев В. П., Трофимов А. В.* Очерки о природе живого вещества и интеллекта на планете Земля. — Новосибирск: «Наука», 2004. — 312 с.

14. *Казначеев В. П., Трофимов А. В.* Хроногеоэкология: онтогенетические аспекты проблемы // Тез. III Междунар. конгр. «Слабые и сверхслабые поля и излучения в биологии и медицине», С.-Петербург, 1–4 июля 2003. — СПб.: Изд-во «Гускарора», 2003. — С. 116.
15. *Казначеев В. П., Трофимов А. В.* Энерго-информационные взаимодействия в биосфере: опыт теоретических и экспериментальных исследований // Русская мысль. — Реутов, 1992. — Т. 1. — С. 22–27.
16. *Козырев Н. А.* Избранные труды. — Л.: Изд-во Ленингр. ун-та, 1991. — 445 с.
17. *Коротков К. Г. и др.* Экспериментальные исследования процесса прямого видения методом газоразрядной визуализации (ГРВ) // Тез. VI междунар. науч. конгр. по ГРВ биоэлектрографии. — СПб., 2002. — С. 82.
18. *Коротков К. Г.* Основы биоэлектрографии. — СПб., 2001. — 12 с.
19. *Коротков К. Г., Звонников В. М.* Измерение ГРВ-грамм оператора в процессе сеансов телепатической связи // Тез. междунар. конгр. по биоэлектрографии. — СПб., 2001. — С. 81–82.
20. *Селенок Ю. В.* Древние шумеры о Солнечной системе и Земле // Вестн. МИКА. — 1998. — №5. — С. 94–112.
21. *Трофимов А. В.* Неортодоксальная наука: прошлое, настоящее, будущее (Обзор итогов и перспектив по материалам евроконференции SSE) // Вестн. МНИИКА. — 2000. — № 7. — С. 16.
22. *Трофимов А. В., Девяцин Д. В.* Эффект синхронизирующего резонанса в системе «палео-объект — человек», выявляемый в моделированном пространстве методом газоразрядной визуализации // Докл. VI Междунар. конгр. «Некомпьютерные информационные технологии». — Барнаул: Изд-во АлтГТУ, 2003. — Т. 1. — С. 22–30.
23. *Трофимов А. В., Девяцин Д. В.* Эффекты резонансной межличностной синхронизации в моделированном пространстве, выявляемые методом газоразрядной визуализации // Вестн. МНИИКА. — 2002. — № 9. — С. 83–91.
24. *Chuinard E.* Experimental program on non-local transportation properties among physical and mental fields: Gas plasma affectations on mind-matter interrelations // *Int. Sci. Congr. on Bioelect-rography.* — SPb., 2001. — P. 65.

Об авторах:

КАЗНАЧЕЕВ Влаиль Петрович — академик АМН РФ, Международный научно-исследовательский институт космической антропоэкологии (Новосибирск);

ТРОФИМОВ Александр Васильевич — доктор медицинских наук, профессор, генеральный директор Международного научно-исследовательского института космической антропоэкологии (Новосибирск).